

Формирование конечно-элементных систем в GPGPU

Новиков А.К., Кузьмин И.М., Недожогин Н.С., Копысов С.П.

Институт механики УрО РАН, г. Ижевск

Международная научная конференция
Параллельные вычислительные технологии ПАВТ'2014
Южный федеральный университет, Ростов-на-Дону,
31 марта – 4 апреля 2014 г.

- 1 Применение GPU в конечно-элементных вычислениях
- 2 Интегрирование, сборка матриц и решение сеточных систем.
- 3 Иерархические базисные функции высокого порядка
- 4 Интегрирование локальных матриц жесткости
- 5 Параллельные алгоритмы интегрирования
- 6 Результаты вычислительных экспериментов

Основные шаги метода конечных элементов:

- Шаг 1.* Построение и разделение конечно-элементной сетки с заданными физическими параметрами и граничными условиями.
- Шаг 2.* **Формирование локальных элементных матриц жесткости¹.**
- Шаг 3.* Формирование глобальной системы уравнений с учетом вкладов от элементов и узлов в соответствии со схемами сборки².
- Шаг 4.* Введение граничных условий.
- Шаг 5.* Решение системы уравнений^{3, 4}.

¹Plaszewski P., Maciol P., Banas K.

²Cecka C., Lew A., Darve E.

³Dalton S., Bell N.

⁴Губайдуллин Д.А., Никифоров А.И., Садовников Р.В.

$$Ku = f \quad (1)$$

$$K = \int_V B^T D B dV \approx \sum_{e=1}^m \int_{V_e} B^{eT} D^e B^e dV^e = \sum_{e=1}^m C_e^T K^e C_e, \quad (2)$$

здесь $K^e \in \mathbb{R}^{N_e \times N_e}$ — локальная (элементная) матрица жесткости;
 $C = [C_e]_{1 \times m} \in \mathbb{Z}^{N_e \times N}$ — матрица связности; m — число конечных элементов; N_e — число степеней свободы в одном конечном элементе; N — число неизвестных в системе уравнений.

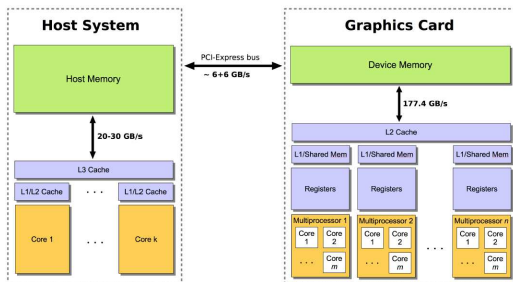
где $B^e = [B_1^e B_2^e \dots B_{N_e}^e]$, $B_i^e = \begin{pmatrix} \frac{\partial \psi_i^e}{\partial x_1} & 0 & 0 \\ 0 & \frac{\partial \psi_i^e}{\partial x_2} & 0 \\ 0 & 0 & \frac{\partial \psi_i^e}{\partial x_3} \\ \frac{\partial \psi_i^e}{\partial x_2} & \frac{\partial \psi_i^e}{\partial x_1} & 0 \\ \frac{\partial \psi_i^e}{\partial x_3} & 0 & \frac{\partial \psi_i^e}{\partial x_1} \\ 0 & \frac{\partial \psi_i^e}{\partial x_3} & \frac{\partial \psi_i^e}{\partial x_2} \end{pmatrix}.$

$$Kp = \sum_{e=1}^m C_e^T K^e C_e p = \sum_{e=1}^m C_e^T K^e p_e. \quad (3)$$

здесь $p \in \mathbb{R}^N$ — вектор направления, например в методе сопряженных градиентов.

Варианты распределения вычислений между GPU и CPU:

- С решением собранной/крупноблочной системы (1) на GPU⁵.
 - Интегрирование матриц K^e на GPU с передачей на CPU для сборки K .
 - Интегрирование матриц K^e и сборка K на GPU.
- Применение элементных схем подпространств Крылова на GPU.
 - Блочно-диагональный вариант⁶, с блоками K^e .
 - Вычисление матриц K^e в матрично-векторном произведении.



Коммуникации
CPU \leftrightarrow GPU:

- массивы;
- массив конечно-элементных структур;
- одна структура с полями для всех конечных элементов.

Рис. 1: Коммуникации CPU и GPU

⁵Kopysov S.P., Kuzmin I.M., Nedozhogin N.S., Novikov A.K., Sagdeeva Y.A. Hybrid Multi-GPU solver based on Schur complement method // Lecture Notes in Computer Science. 2013. Vol. 7979. P. 65–79.

⁶Кузьмин И.М., Недождогин Н.С., Новиков А.К., Сагдеева Ю.А. Конечно-элементное решение динамических задач деформирования на GPU // Девятая Всероссийская конференция «Сеточные методы для краевых задач и приложения», г. Казань. Изд.

Аппроксимация перемещений в шестигранном конечном элементе

$$\begin{aligned}
 u_i^p = & \sum_{v=1}^8 \psi_v \cdot u_{v_i} + \sum_{e=1}^{12} \sum_{n=2}^p \psi_e^n \cdot a_e^{n_i} + \sum_{f=1}^6 \sum_{m=2}^{p-2} \sum_{n=2}^{p-m} \psi_f^{mn} \cdot b_f^{mn_i} + \\
 & + \sum_{l=2}^{p-4} \sum_{m=2}^{p-1} \sum_{n=2}^{p-1-m} \psi^{lmn} \cdot c^{lmn_i},
 \end{aligned} \tag{4}$$

где u_{v_i} , $a_e^{n_i}$, $b_f^{mn_i}$, c^{lmn_i} — неизвестные; ψ_v , ψ_e^n , ψ_f^{mn} , ψ^{lmn} — функции формы для узлов, ребер, граней и внутренних степеней свободы; p — порядок аппроксимации.

Базисные функции для p -версии в случае одного измерения будут иметь вид

$$\psi_i(s) = \frac{1}{2}(1 \pm s), \quad \text{или} \quad \psi_i(s) = \frac{1}{2}(1 + s_i s), \quad i = 0, 1$$

и

$$\psi_j(s) = P_j(s) = \int_{-1}^s L_{j-1}(x) dx, \quad j = 2, p$$

где s — локальная координата, $-1 \leq s \leq 1$; s_i — локальная координата i -го узла, $s_i = -1, 1$; $L_p(x)$ — полиномы Лежандра

$$L_p(x) = \frac{1}{2^p p!} \frac{d^p}{dx^p} [(x^2 - 1)]^p.$$

Базисные функции для элемента кубической формы с локальными координатами $-1 \leq r, s, t \leq 1$.

- Узловые базисные функции имеют вид

$$\psi_v = \frac{1}{8}(1 + r_v r)(1 + s_v s)(1 + t_v t), \quad v = 1, 8,$$

где v — номер узла в элементе.

- Базисные функции с обобщенными параметрами на ребрах элемента:

$$\psi_e^p = \frac{1}{4}(1 + r_e r)(1 + s_e s)P_p(t), \quad p \geq 2,$$

где e — ребро в элементе.

- Базисные функции для граней элемента имеют вид

$$\psi_f^{mn} = \frac{1}{2}(1 + r_f r)P_m(s)P_n(t), \quad p \geq 4,$$

$$m, n \geq 2, \quad m + n \leq p.$$

Здесь f — грань элемента, перпендикулярная оси r .

- Базисные функции, связанные с внутренними обобщенными параметрами

$$\psi^{lmn} = P_l(r)P_m(s)P_n(t), \quad p \geq 6,$$

$$l, m, n \geq 2, \quad l + m + n \leq p.$$

Таблица 1: Характеристика иерархических элементов до 10-го порядка

Порядок элемента, p	Число добавляемых функций формы	Число неизвестных в к.э., N_e
1	8 узловых	24
2	12 на ребрах	60
3	12 на ребрах	96
4	12 на ребрах 6 на гранях	150
5	12 на ребрах 12 на гранях	222
6	12 на ребрах 18 на гранях 1 внутренняя	315
7	12 на ребрах 24 на гранях 3 внутренних	432
8	12 на ребрах 30 на гранях 6 внутренних	576
9	12 на ребрах 36 на гранях 10 внутренних	750
10	12 на ребрах 42 на гранях 15 внутренних	957

Таблица 2: Оценка вычислительных затрат⁷

	Квадратуры Гаусса	Векторные квадратуры	Факторизация сумм
2D	$\mathcal{O}(p^6)$	$\mathcal{O}(p^6)$	$\mathcal{O}(p^5)$
3D	$\mathcal{O}(p^9)$	$\mathcal{O}(p^9)$	$\mathcal{O}(p^7)$

⁷Melenk M, Gerdes K and Schwab C. Fully discrete hp-finite elements: fast quadrature // Comput. Methods Appl. Mech. Eng. 2001. Vol. 190. 4339–4369

В общем случае алгоритм формирования локальной матрицы K^e жесткости включает следующие шаги:

- Построение функций формы элемента ψ_e .
- Переход от глобальной системы координат к локальной, вычисление матрицы Якоби J , обратного преобразования J^{-1} и якобиана $\det J$.
- Вычисление $B^e = [B_1^e B_2^e \dots B_{N_e}^e]$.
- Численное интегрирование по объёму для вычисления матрицы жесткости

$$K^e = [K_{\alpha\beta}^e], \quad K_{\alpha\beta}^e = \int_{-1}^1 \int_{-1}^1 \int_{-1}^1 B_{\alpha}^{eT}(r, s, t) D B_{\beta}^e(r, s, t) \det J(r, s, t) dr ds dt. \quad (5)$$

$$K_{\alpha\beta}^e \approx \sum_{i=1}^{n_i} \sum_{j=1}^{n_j} \sum_{k=1}^{n_k} B_{\alpha}^{eT}(r_i, s_j, t_k) D^e B_{\beta}^e(r_i, s_j, t_k) w_i w_j w_k \det J(r, s, t), \quad (6)$$

где $B_{\alpha}^e(r_i, s_j, t_k)$ — матрица производных ψ_e в (r_i, s_j, t_k) ; D^e — матрица характеристик материала (среды); w_i, w_j, w_k — весовые коэффициенты квадратур Гаусса.

Число точек интегрирования

$$n_G = \underbrace{\left[\frac{3p-2}{2} \right] \times \dots \times \left[\frac{3p-2}{2} \right]}_d. \quad (7)$$

Уровни распараллеливания и алгоритмы

1: В CUDA-нити $th \in [1, m]$ выполнить:

{I уровень}

2: for $i = 1$ to n_i do
 3: for $j = 1$ to n_j do
 4: for $k = 1$ to n_k do

В CUDA-нити $th \in [1, m \cdot n_G]$ выполнить:

{II уровень}

6: Вычисление производных ψ_e по r, s, t .
 7: Вычисление $J, detJ$ и J^{-1} .
 8: Вычисление матрицы B^e .
 9: for $\alpha = 1$ to N_e do
 10: for $\beta = \alpha$ to N_e do
 11: $\hat{K}_{\alpha\beta}^e = B_{\alpha}^T D^e B_{\beta} \times$
 $\times w_i w_j w_k det J$.
 12: $K_{\alpha\beta}^e \leftarrow K_{\alpha\beta}^e + \hat{K}_{\alpha\beta}^e$.
 13: end for
 14: end for
 15: end for
 16: end for
 17: end for

Особенности алгоритмов

AI

$$th \leftarrow K^e$$

$$N_{th} = m$$

$$N_{b_x} = \maxGridSize[1]$$

$$N_{b_y} = \frac{N_{th}/N_{tib}}{N_{b_x}-1} + 1$$

AII

$$th \leftarrow K_{\alpha\beta}^e(r_i, s_i, t_i)$$

$$N_{th} = m \cdot n_G$$

$$N_{b_x} = \frac{N_{th}}{N_{tib}} + 1$$

$$N_{b_y} = 1$$

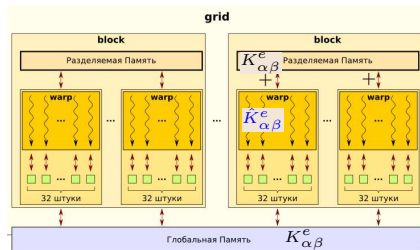


Рис. 2: Суммирование $K_{\alpha\beta}^e$ в AII

Таблица 3: Время вычисления одним ядром CPU (сек.) и ускорение на GPU

3D, $m = 10000, (N_e \times N_e)$	t_{CPU}		$\frac{t_{CPU}}{t_{GPU}}$	
	E5430/E5-2609		GTX580/GTX680	
	-00	-03	AI	AII
$p = 1, n_G = 8, (24 \times 24)$	1.23 / 1.12	0.17/0.14	0.41/0.74	0.39/0.67
$p = 2, n_G = 8, (60 \times 60)$	5.73 / 5.20	0.74/0.58	1.09/1.08	0.90/1.05
$p = 3, n_G = 64, (96 \times 96)$	108.3 / 97.45	13.30/10.52	2.68/1.48	7.07/6.41
$p = 4, n_G = 125, (150 \times 150)$	491.1/441.04	59.02/47.52	2.69/1.41	8.41/6.75
$p = 5, n_G = 343, (222 \times 222)$	2867.6/2598.90	337.83/293.00	2.81/1.50	5.82/5.01

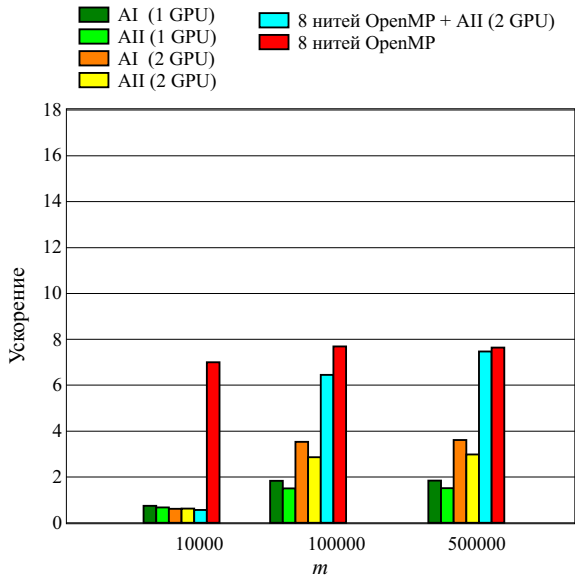


Рис. 3: Интегрирование K^e при $p = 1$.

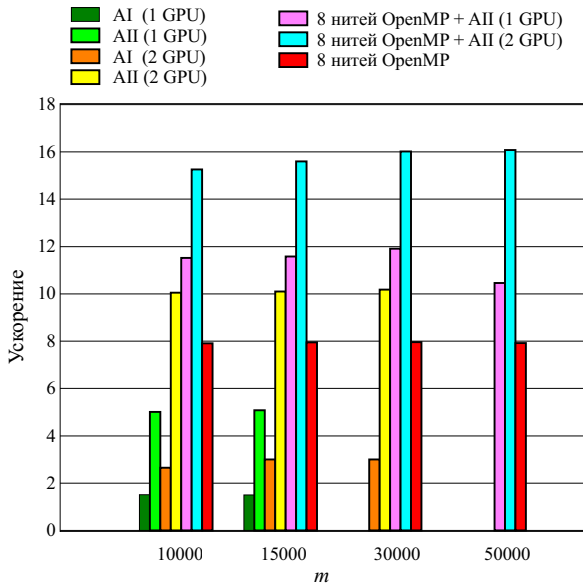


Рис. 4: Интегрирование K^e при $p = 5$.

• Выводы

- В случае конечных элементов высоких порядков, существенное ускорение достигается, когда на одном ускорителе интегрируется в несколько раз больше матриц конечных элементов, чем на одном ядре CPU.
- При неоднородном распределении порядков (p-/hp-версии МКЭ) конечные элементы меньших степеней предпочтительнее интегрировать на ядрах CPU, а больших степеней — на GPU.
- Параллелизм GPU наиболее эффективно использовался на уровне точек интегрирования.

• Продолжение исследований

- Распределение вычислений на cluster GPU.
- Интегрирование локальных матриц в рамках матрично-векторных произведений элементных (element-by-element) схем.

• Благодарности

Работа выполнена при финансовой поддержке РФФИ (грант 14-01-00055-а, 14-01-31066-мол_а, 13-01-00101-а) и программы Президиума РАН №18 при поддержке УрО РАН (проект 12-П-1-1005).